

**ARIEL**

University of Arizona Interlibrary Loan

**University of Arizona Library**

Interlibrary Loan  
1510 E. University Blvd  
Tucson, AZ 85721  
(520) 621-6438 / (520) 621-4619 (fax)  
OCLC: AZU  
U of A Ariel: 150.135.45.156  
askill@u.library.arizona.edu

**ILL Number:** 3767810



**Lending String:** \*AZU,OKS,UIU,MNP,AGL  
**Patron:** Godinho, Alexandre

**Journal Title:** Arquivo brasileiro de medicina veterinaria e zootecnica.

**Article Author:** SANTOS, J. E. & GODINHO, H. P.;

**Article Title:** Morfogenese e comportamento larvais do surubim (*Pseudoplatystoma coruscans* Agassiz,1829) sob condicoes experimentais

**Volume:** 46

**Issue:** 2

**Month/Year:** 1994

**Pages:** 139-147

**Borrower: AUM**

**Trans.#:** 62795



**Call #:** SF604 .M56 v.46 1994

**Location:** SCI

**PRIORITY**

**Shipping Address:**

University of Massachusetts Amherst  
W.E.B. Du Bois Library- ILL  
154 Hicks Way  
Amherst MA 01003-9275

**Fax:** 413-577-3114

**Notice:** This material may be protected by Copyright Law (Title 17 U.S.C.).

**Paged by** \_\_\_\_\_ (Initials)

**Reason Not Filled (check one):**

NOS  NFAC  NONCIRC

MISSING FROM VOL  TOO LONG

Rec'd: 3/2/2004 8:58 AM

**ARIEL INFORMATION:**

**Ariel Address:** 128.119.169.34



**Morfogênese e comportamento larvais do surubim  
(*Pseudoplatystoma coruscans* Agassiz, 1829)  
sob condições experimentais**

- ARLE, K., COHRS, P. *Anatomia patológica especial dos animais* estéticos. 5.ed. Lisboa: Calouste Gulbenkian, 1970. v.2. 615p.
- ER, W.A., GLASS, A.G., WAGGONER, N.S. Congenital defects in domesticated animals: general considerations. *Am. J. Vet. Res.*, p.1871-1879, 1970.
- L.A., HOPPS, H.C., EDMONDS, L.D. Comparative aspects of congenital malformations in man and swine. *J. Am. Vet. Med. Assoc.*, 9, p.1485-1490, 1971.

J.E. Santos<sup>1</sup>

H.P. Godinho<sup>2</sup>

<sup>1</sup>Núcleo de Biologia Animal, Departamento de Ciências Biológicas,

Pontifícia Universidade Católica de Minas Gerais,  
Av. Dom José Gaspar, 500 - 30565-610 - Belo Horizonte, MG.

<sup>2</sup>Departamento de Morfologia, Instituto de Ciências Biológicas,  
Universidade Federal de Minas Gerais, C.P. 2486, 30161-970  
Belo Horizonte, Minas Gerais - Brasil

RESUMO

Investigou-se, sob condições experimentais, a morfogênese e o comportamento larvais do surubim, da eclosão até a absorção quase total do vítreo. As larvas, à eclosão, apresentam corpo alongado, apigmentado e transparente. A partir do 2º dia, elas exibem cromatóforos puntiformes, esboços de arcos branquiais, barbillões maxilares e boca aberta. A pigmentação da retina inicia-se pela sua região central. A exsustão quase total do vítreo ocorreu no 4º dia. Imediatamente após a eclosão, as larvas permanecem em decíduo lateral no fundo da cuba. Movimentam-se pouco e, quando o fazem, progredem em sentido vertical e, então, desem passivamente. A partir do 3º dia, elas passam a deslocar-se em sentido horizontal. Aparentemente, os barbillões maxilares e mentonianos auxiliam no equilíbrio corporal.

**PALAVRAS-CHAVE:** Surubim, *Pseudoplatystoma coruscans*, morfogênese larval, comportamento larval.

SUMMARY

The morphogenesis and behaviour of the surubim (*P. coruscans*) larvae were investigated from hatching to day 4, when the yolk sac was almost entirely absorbed. The

larvae showed elongated, non-pigmented and transparent body. At day 2, they showed punctiform chromatophores, maxillary barbels, and open mouth. Immediately after eclosion, the larvae remain on their sides in the bottom of the tank. When active, they swim vertically and then passively fall to the bottom. At day 3, they were already swimming horizontally. The maxillary and mentoniam barbels apparently participate in the body equilibrium.

KEY WORDS: "Surubim", *Pseudoplatystoma coruscans*, larval morphogenesis, larval behaviour.

## INTRODUÇÃO

O surubim é o maior peixe e o de maior valor comercial da bacia do Rio São Francisco. Recentemente, larvas desta espécie foram, pela primeira vez, obtidas através da indução artificial da desova (SATO et al, 1988) e sua embriogênese descrita (CARDOSO et al, 1988). No presente estudo, descreve-se a morfologia de sua larva, em níveis macro, meso e microscópico, desde a eclosão até a absorção quase total do saco vitelino. Além disso, registra-se seu comportamento nesse período, sob condições experimentais.

## MATERIAL E MÉTODOS

Foram utilizadas larvas de surubim (*Pseudoplatystoma coruscans* Agassiz, 1829) oriundas de desova induzida na Estação de Hidrobiologia e Piscicultura de Três Maria, Três Marias, Minas Gerais, em janeiro de 1992. No laboratório, 100 larvas foram mantidas em cuba de plástico com 2 litros de água, sem renovação, à temperatura (23-25C) e fotoperíodo (aproximadamente, 13h luz; 11h escuro) ambientes.

A cada 24 horas, observou-se o comportamento das larvas, registrou-se o número de mortas e colheram-se 14 delas. Com auxílio de microscópio estereoscópico, analisou-se sua morfologia corporal sob anestesia com éter sulfúrico. Em seguida, dez larvas foram fixadas em formol 10% e quatro, em líquido Boiun, em ambos os casos por 24 horas, e então transferidas para álcool 70%. As larvas fixadas em Boiun foram incluídas em glicol metacrilato (\*) e submetidas à micrometria em cortes

(\*) JB-4 Embedding kit. Polysciences, Inc. Warrington, PA 18976-2590, EUA.

de 5-7 µm de larvas fixadas de lupa esteira.

O pH respectivamente, traram-se 7 valores para de mortalidade.

No período, 3,3±0,07 mm transparentes, estavam envolvidos trissulvados, mostavam extremidades direcionadas, mostrava-se sentavam-se, incolor e era reduzido. C apresentava máculas eritematosas.

No período, tavam crônicas, porção terminal central da delimitada por brotos na subterminais, saco vitelino, suas extremidades dentes.

No período, mento padronizado dos caudais.

At day 2, they showed  
uth. Immediately after  
ank. When active, they  
y 3, they were already  
pparently participate in  
morphogenesis, larval

comercial da bacia do  
cie foram, pela pri-  
lesova (SATO et al,  
1988). No presente  
íveis macro, meso e  
tal do saco vitelino.  
íodo, sob condições

*atystoma coruscans*  
ão de Hidrobiologia  
erais, em janeiro de  
cuba de plástico com  
(25C) e fotoperíodo

to das larvas, regis-  
as. Com auxílio de  
logia corporal sob  
s foram fixadas em  
casos por 24 horas,  
das em Boiun foram  
icrotomia em cortes

590, EUA.

de 5-7 µm de espessura e coradas pelo azul de toluidina ácida 1%. Das dez larvas fixadas em formol, obteve-se seu comprimento padrão com auxílio de lupa estereoscópica.

O pH e a condutividade da água no início do experimento foram respectivamente 7,6 e 85,7 µS.cm<sup>-1</sup>. Ao término do experimento, registraram-se 7,5 para o pH e 86,9 µS.cm<sup>-1</sup> para a condutividade. Estes valores foram considerados adequados para os objetivos propostos. A taxa de mortalidade das larvas durante o experimento foi de 11%.

## RESULTADOS

No primeiro dia (FIG.1.1), as larvas de surubim mediam 3,3±0,07mm à eclosão; apresentavam corpo alongado, apimentado e transparente. As fossetas olfatórias e as vesículas encefálicas e óticas estavam evidentes. Esta última apresentava dois otólitos, o caudal trissulado e maior que o rostral. Os olhos eram pouco evidentes e mostavam-se apimentados. A nadadeira embrionária iniciava-se na extremidade caudal do saco vitelino, contornava o pedúnculo caudal e direcionava-se dorsalmente até o nível do saco vitelino. A notocorda mostrava-se evidente ao longo do corpo e, neste estádio, as larvas apresentavam-se com 38 a 43 miômeros. O coração pulsátil recebia sangue incolor e escasso em células sanguíneas. O tubo digestivo tinha o lume reduzido. O saco vitelino, repleto de glóbulos de vitelo individualizados, apresentava mácula negra em cada uma de suas extremidades. Estas máculas eram constituídas de cromatóforos de aspecto puntiforme.

No segundo dia (FIG.1.2) as larvas mediam 3,9±0,06mm e apresentavam cromatóforos puntiformes nas regiões rostral da cabeça, cardíaca, porção terminal do tubo digestivo e porção pós-anal do corpo. A porção central da retina estava pigmentada (FIG. 2.5) e as bordas oculares delimitadas. Os barbillões maxilares apresentavam-se como pequenos brotos na face lateral da cabeça. A boca estava aberta com posição subterminal. O tubo digestivo apresentava-se luminado (FIG.2.6 e 2.7). O saco vitelino diminuiu de tamanho e as máculas negras persistiam em suas extremidades. Os esboços dos arcos branquiais mostravam-se evidentes.

No terceiro dia (FIG.1.3.) as larvas, com 3,9±0,11mm de comprimento padrão, apresentavam barbillões maxilares e mentonianos dirigidos caudalmente. A borda dorsal dos barbillões era serreada e o restante

de sua superfície, liso. A parede da cavidade celomática apresentava-se em inicio de pigmentação. O coração recebia sangue avermelhado e com células sanguíneas. A mandíbula apresentava-se com movimento. O tubo digestivo mantinha-se luminoso e com mucosa sinuosa.

O opérculo estava em início de diferenciação. Histologicamente, as cartilagens do neurocrâneo e da mandíbula tornavam-se evidentes. O lóbulo dorsal da futura nadadeira caudal projetava-se dorsalmente e a notocorda o acompanhava.

No quarto dia (FIG.1.4) as larvas medianas eram  $5,5 \pm 0,33$  mm. As extremidades dos barbillões maxilares atingiam o nível do ânus. Os barbillões mentonianos eram menores e ambos apresentavam a borda dorsal serrilhada e o restante, liso. A boca estava em posição terminal e apresentava dentículos cônicos. O esôfago era curto e o lume do estômago cerca de três vezes o do intestino. A mucosa sinuosa do intestino apresentava-se com borda estriada (FIG.2.8) e células caliciformes intercaladas. O esboço hepático era evidente. O saco vitelino estava em fase final de reabsorção e as máculas negras continuavam presentes (FIG.2.9). Os opérculos estavam em fase final de diferenciação. O padrão de distribuição dos cromatóforos variava entre as larvas e seu número aumentava com a idade.

As larvas de surubim, à eclosão, permaneciam a maior parte do tempo em repouso e em decúbito lateral, dispersas no fundo da cuba. Ocionalmente, praticavam movimentos ativos verticais em direção à superfície e desciam passivamente com a cabeça voltada para o fundo. Com a idade, a freqüência destes movimentos aumentava e, no terceiro dia, com auxílio dos barbillões, adquiriam a capacidade de nadar horizontalmente. No quarto dia, quando em repouso, permaneciam em decúbito ventral, no fundo da cuba.

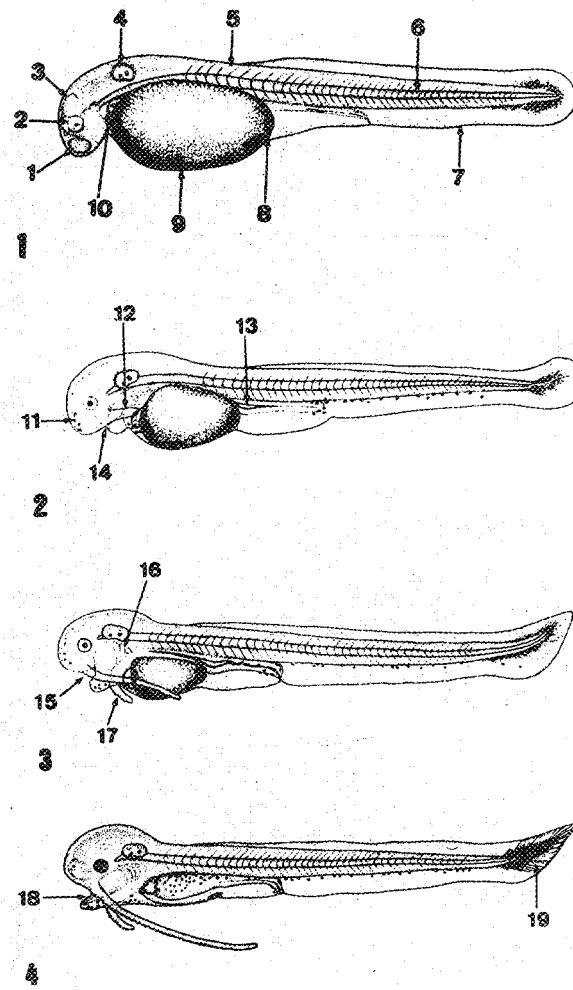
## DISCUSSÃO E CONCLUSÕES

Os dados macroscópicos obtidos com as larvas do surubim foram semelhantes aos das larvas estudadas por AZEVEDO et al (1938), AZEVEDO & GOMES (1942), ARAÚJO-LIMA (1985), GODINHO et al (1978) e SANTOS & GODINHO (1992a).

A pigmentação das células epiteliais da retina ocorreu de forma centrífuga, enquanto SANTOS & GODINHO (1992b) relataram, em outras espécies, que este processo se instalava de forma uniforme em toda a extensão da retina.

FIGURA 1 - Desenhos fotoperíodo natural (lateral): 1 = fossa miómeros, 6 = saco vitelino, 9 = saco cromatóforo puro, 11 = saco mentoniano (cromatóforo mesenquimal)





**FIGURA 1 - Desenhos esquemáticos de larva de surubim mantida em laboratório sob fotoperíodo natural, no primeiro (1), segundo (2), terceiro (3) e quarto (4) dias (vista lateral):** 1 = fosseta olfatória, 2 = olho, 3 = vesícula encefálica, 4 = vesícula ótica, 5 = miômeros, 6 = notocorda, 7 = nadadeira embrionária, 8 = mácula caudal do saco vitelino, 9 = saco vitelino, 10 = coração (comprimento padrão = 3,3mm), 11 = cromatóforo puntiforme, 12 = barbillão maxilar, 13 = intestino, 14 = rima bucal (comprimento padrão = 3,9mm), 15 = boca subterminal, 16 = arcos branquiais, 17 = barbillão mentoniano (comprimento padrão = 3,9mm), 18 = boca terminal, 19 = raios mesenquimais da futura nadadeira caudal (comprimento padrão = 5,5mm).

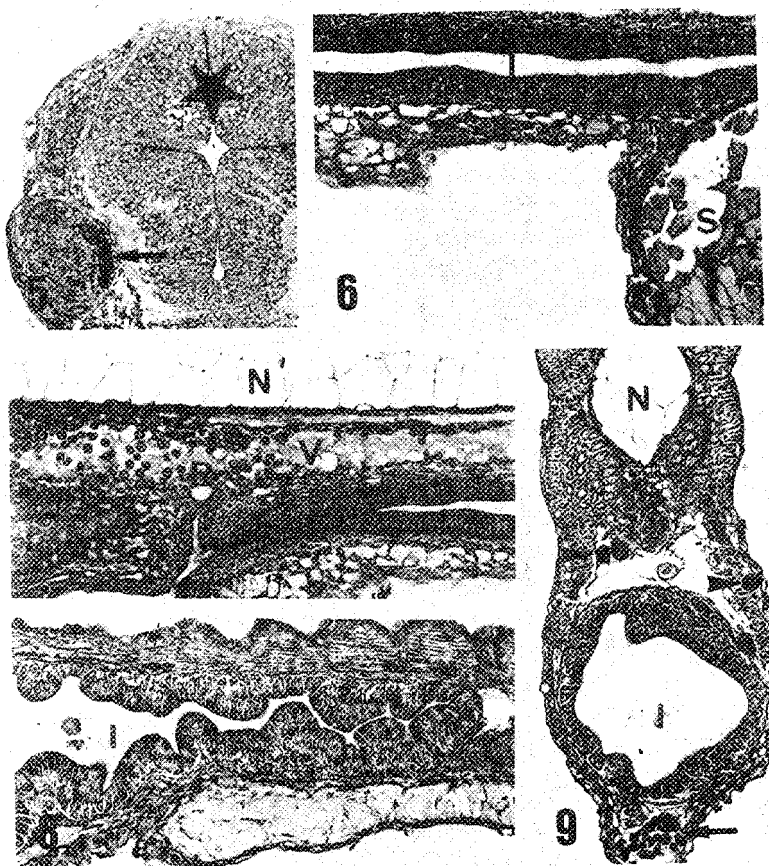


FIGURA 2 - Fotomicrografias de larva de surubim, no segundo dia, mantida em laboratório sob fotoperíodo natural: (5) corte transversal da cabeça; observam-se vesícula encefálica (asterisco) e porção central da retina pigmentada (seta); 210x; (6) corte longitudinal do corpo, mostrando intestino (I) e porção caudal do saco vitelino (S); 210x; (7) corte longitudinal do corpo. Identificam-se notocorda (N), vaso sanguíneo (V), rim caudal (R), intestino (I) e papila urogenital (seta); 210x; (8) corte longitudinal do corpo, mostrando a mucosa sinuosa do intestino com borda estriada (I); 210x; (9) corte transversal do corpo. Veêm-se notocorda (N), rim caudal (R), cromatóforos puntiformes (cabeça de seta), intestino (I) e mácula caudal do saco vitelino (seta); 210x.

Larvas d  
dendrítica (CHI  
MILLARES, 1  
1992a) e dendr  
larvas de surub  
distribuídos na  
ECONOMOU e  
Desse modo, a  
vitelino do suru

A boca d  
concordância co  
total do saco v  
GODINHO et al

Comport  
por IHERRING  
AZEVEDO et  
GODINHO (19

Ao CNP  
trabalho; ao Bi  
ra de Três Mar  
mento das larv  
das lâminas hi

ARAÚJO-LIM  
Desenvolv  
insignis (C  
Biol., v.45,  
ASSIS, E.C.,  
de larvas  
lacerdae),  
AQÜICUI  
Associação

Larvas de peixes podem apresentar cromatóforos em forma dendrítica (CHIRINOS DE VILDOSO & CHUMAN, 1964; BORRERO & MILLARES, 1979; ARAÚJO-LIMA, 1985; SANTOS & GODINHO, 1992a) e dendrítica e puntiforme (SANTOS & GODINHO, 1992b). As larvas de surubim possuíam cromatóforos exclusivamente puntiformes, distribuídos na derme e no peritônio. Segundo FABER & GADO (1983) e ECONOMOU et al (1991), os cromatóforos são utilizados em taxonomia. Desse modo, as máculas negras localizadas nas extremidades do saco vitelino do surubim podem apresentar caráter taxonômico.

A boca da larva encontrava-se aberta a partir do segundo dia, em concordância com registros de CARDOSO et al (1988). A absorção quase total do saco vitelino ocorreu no quarto dia, semelhante aos dados de GODINHO et al (1978), obtidos para *Rhamdia hillari*.

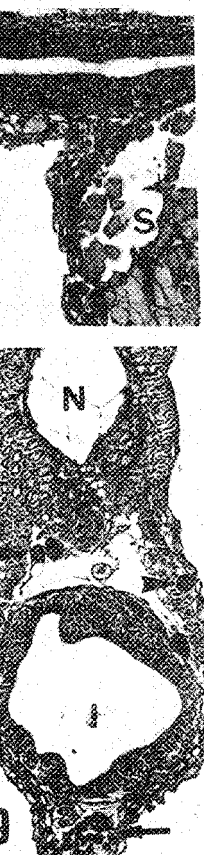
Comportamento semelhante às larvas de surubim foi observado por IHERING & AZEVEDO (1934), IHERING & AZEVEDO (1936), AZEVEDO et al (1938), ASSIS & GODINHO (1991) e SANTOS & GODINHO (1992c), em outras espécies.

#### AGRADECIMENTOS

Ao CNPq (Proc. nº 403354/90-0), pelo financiamento parcial do trabalho; ao Biólogo Yoshimi Sato, Estação de Hidrobiologia e Piscicultura de Três Maria, Três Marias, Minas Gerais - CODEVASF, pelo fornecimento das larvas; ao Técnico Rubens Miranda, pela eficiente preparação das lâminas histológicas.

#### REFERÊNCIAS BIBLIOGRÁFICAS

- ARAÚJO-LIMA, C.A.R.M. Aspectos biológicos de peixes amazônicos. V. Desenvolvimento larval do jaraqui-escama-grossa, *Semaprochilodus insignis* (Characiformes, Pisces) da Amazônia Central. *Rev. Bras. Biol.*, v.45, p.423-431, 1985.
- ASSIS, E.C., GODINHO, H.P. Efeito do fotoperíodo sobre o crescimento de larvas de pacamã (*Lophiosilurus alexandri*) e trairão (*Hoplias cf. lacerdae*), em condições experimentais. In: ENCONTRO ANUAL DE AQUÍCULTURA, 8, 1990, Belo Horizonte. Resumos... Belo Horizonte: Associação Mineira de Aquicultura, 1991. p.20.



mantida em laboratório sob  
am-se vesícula encefálica  
x; (6) corte longitudinal do  
elino (S); 210x; (7) corte  
güineo (V), rim caudal (R),  
linal do copo, mostrando a  
(8) corte transversal do  
s puntiformes (cabeça de  
80x.

- AZEVEDO, P., GOMES, A.L. Contribuição ao estudo da biologia da traíra *Hoplias malabarica* (Bloch, 1794). *Bol. Ind. Anim.*, v.5 p.15-64, 1942.
- AZEVEDO, P., DIAS, M.V., VIEIRA, B.B. Biologia do sagüiru (Characidae, Curimatidae). *Mem. Inst. Oswaldo Cruz*, v.33, p.481-553, 1938.
- BORRERO, M., MILLARES, N. Cultivo de larvas y juveniles del patao *Eugerres plumieri* (Pisces, Gerridae) en condiciones de laboratorio. *Rev. Cubana Invest. Pesq.*, v.4, p.21-42, 1979.
- CARDOSO, E.L., FERREIRA, R.M.A., ALVES, M.S.D. Desenvolvimento embrionário e estádios larvários iniciais em surubim (*Pseudoplatystoma coruscans* Agassiz, 1829). In: ENCONTRO ANUAL DE AQÜICULTURA, 6, 1988, Belo Horizonte. *Resumos...* Belo Horizonte: Associação Mineira de Aquicultura, 1988. p.22.
- CHIRINOS DE VILDOSO, A., CHUMAN, E.D. Notas sobre el desarrollo de huevos y larvas del pejerrey *Odontesthes (Austromenidia) regia regia* (Humboldt). *Bol. Inst. Mar. Peru (Callao)*, v.1, p.1-31, 1964.
- ECONOMOU, A.N., DAOULAS, Ch., PSARRAS, T. Growth and morphological development of chub *Leuciscus cephalus* (L.), during the first year of life. *J. Fish Biol.*, v.39, p.393-408, 1991.
- FABER, D.J., GADD, S. Several drawing techniques to illustrate larval fishes. *Trans. Am. Fish Soc.*, v.112, p.349-353, 1983.
- GODINHO, H.M., FENERICH, N.A., NARAHARA, M.Y. Desenvolvimento embrionário e larval de *Rhamdia hilari* (Valenciennes, 1840) (Siluriformes, Pimelodidae). *Rev. Bras. Biol.*, v.38, p.151-156, 1978.
- IHERING, R., AZEVEDO, P. A curimatã dos açudes nordestinos (*Prochilodus argenteus*). *Arch. Inst. Biol. São Paulo*, v.5, p.143-184, 1934.
- IHERING, R., AZEVEDO, P. As piabas dos açudes nordestinos (Characidae, Tetragonopterinae). *Arch. Inst. Biol. São Paulo*, v.7, p.75-105, 1936.
- SANTOS, J.E., GODINHO, H.P. Desenvolvimento larval do dourado (*Salminus brasiliensis*) em condições experimentais. In: REUNIÃO ANUAL DO INSTITUTO DE PESCA, 1, 1992, São Paulo. *Resumos...* São Paulo: Instituto de Pesca, 1992a. p.39.
- SANTOS, J.E., GODINHO, H.P. Sinopse de eventos ontogenéticos em larvas de 6 espécies de peixes brasileiros mantidas em condições experimentais. In: ENCONTRO ANUAL DE AQÜICULTURA DE MINAS GERAIS, 10, 1992, Belo Horizonte. *Anais...* Belo Horizonte: Associação Mineira de Aquicultura, 1992b. p.72-74.

SANTOS, J.E., GO  
de peixes sob c  
TRO ANUAL  
Belo Horizonte  
Aqüicultura, 1  
SATO, Y., CARD  
surubim (*Pseu  
ENCONTRO A  
*Resumos...* Bel  
p.20.*

- SANTOS, J.E., GODINHO, H.P. Comportamento de larvas de 6 espécies de peixes sob condições experimentais de fotoperíodo. In: ENCONTRO ANUAL DE AQUÍCULTURA DE MINAS GERAIS, 10, 1992. Belo Horizonte. Anais... Belo Horizonte: Associação Mineira de Aquicultura, 1992c. p.75-77.
- SATO, Y., CARDOSO, E.L., SALLUM, W.B. Reprodução induzida do surubim (*Pseudoplatystoma coruscans*) da bacia do São Francisco. In: ENCONTRO ANUAL DE AQUÍCULTURA, 6, 1988, Belo Horizonte. Resumos... Belo Horizonte: Associação Mineira de Aquicultura, 1988. p.20.